

1 Popište možné tvary dynamických systémů pro modely: spojité-diskrétní, lineární-nelineární.

Lineární spojité systém v časové oblasti

$$\begin{aligned}\dot{\mathbf{x}} &= \mathbf{A}\mathbf{x} + \mathbf{B}\mathbf{u} \\ \mathbf{y} &= \mathbf{C}\mathbf{x} + \mathbf{D}\mathbf{u}\end{aligned}$$

Lineární spojité systém ve frekvenční oblasti

$$\begin{aligned}s\mathbf{x} &= \mathbf{A}\mathbf{x} + \mathbf{B}\mathbf{u} \\ \mathbf{y} &= \mathbf{C}\mathbf{x} + \mathbf{D}\mathbf{u}\end{aligned}$$

Po úpravě $\mathbf{x}(s\mathbf{I} - \mathbf{A}) = \mathbf{B}\mathbf{u}$ můžeme dosadit

$$\mathbf{y} = \mathbf{C}(s\mathbf{I} - \mathbf{A})^{-1}\mathbf{B}\mathbf{u} + \mathbf{D}\mathbf{u} \quad (1)$$

Dynamická poddajnost

$$\mathbf{G}(s) = \frac{\mathbf{y}}{\mathbf{u}} = \mathbf{C}(s\mathbf{I} - \mathbf{A})^{-1}\mathbf{B} + \mathbf{D} \quad (2)$$

Lineární diskrétní systém

$$\begin{aligned}\mathbf{x}_{t+\Delta t} &= \mathbf{M}\mathbf{x}_t + \mathbf{N}\mathbf{u}_t \\ \mathbf{y}_t &= \mathbf{O}\mathbf{x}_t + \mathbf{P}\mathbf{u}_t\end{aligned}$$

diskrétní tvar lze získat z tvaru spojitého modelu v časové oblasti

$$\begin{aligned}\mathbf{M} &= e^{\mathbf{A}\Delta t} \doteq \mathbf{I} + \mathbf{A}\Delta t \\ \mathbf{N} &= \mathbf{A}^{-1} (e^{\mathbf{A}\Delta t} - \mathbf{I}) \mathbf{B} \doteq \mathbf{B}\Delta t \\ \mathbf{O} &= \mathbf{C} \\ \mathbf{P} &= \mathbf{D}\end{aligned}$$

Nelineární systém

$$\dot{\mathbf{x}} = \mathbf{f}(\mathbf{x}) + \mathbf{g}(\mathbf{x})\mathbf{u} \quad (3)$$

$$\mathbf{y} = \mathbf{c}(\mathbf{x}) + \mathbf{d}(\mathbf{x})\mathbf{u} \quad (4)$$

2 Modelování poddajných struktur

Většinou vycházíme z mkp modelů s $10^4 \div 10^6$ tvarů

$$\mathbf{M}\ddot{\mathbf{x}} + \mathbf{C}\dot{\mathbf{x}} + \mathbf{K}\mathbf{x} = \mathbf{F}$$

Ty redukujem pomocí modální transformace, kde hledáme řešení zobecněného problému vlastních čísel

$$\mathbf{K}\mathbf{V} = \Omega^2 \mathbf{M}\mathbf{V}$$

kde ϕ_i jsou vlastní vektory a ω_i vlastní frekvence tvořící matice \mathbf{V} a Ω

$$\mathbf{V} = \begin{bmatrix} \phi_1 & \dots & \phi_N \end{bmatrix}, \quad \Omega^2 = \text{diag}(\omega_i^2), \quad i \in \langle 1, N \rangle$$

Pro navzájem ortogonální vlastní vektory s vahou matice hmotnosti (získané příslušnou normalizací) platí

$$\mathbf{V}^T \mathbf{M} \mathbf{V} = \mathbf{1}, \quad \mathbf{V}^T \mathbf{K} \mathbf{V} = \Omega^2$$

zavedením modální souřadnic \mathbf{q} , $\mathbf{x} = \mathbf{V}\mathbf{q}$ a vynásobením transponovanou maticí modální transformace \mathbf{V}^T zleva, lze převést pohybovou rovnici do tvaru

$$\mathbf{I}\ddot{\mathbf{q}} + \mathbf{\Gamma}\dot{\mathbf{q}} + \Omega^2 \mathbf{q} = \mathbf{V}^T \mathbf{F}, \quad \Omega = \mathbf{V}^T \mathbf{K} \mathbf{V}, \quad \mathbf{\Gamma} = \mathbf{V}^T \mathbf{B} \mathbf{V}$$

O systému můžeme říct, že má proporční tlumení, je-li matice \mathbf{C} lineární kombinací matic \mathbf{M} a \mathbf{K} . Pak je tato matice diagonalizovatelná modální transformací \mathbf{V} a matice $\mathbf{\Gamma}$ je diagonální s prvky $\Gamma_{ii} = 2\zeta_i \Omega_i$, kde ζ_i jsou poměrné útlumy. Soustava se pak rozpadá na samostatně řešitelné rovnice ve tvaru

$$\ddot{q}_i + 2\Omega_i \xi_i \dot{q}_i + \Omega_i^2 q_i = f_i, \quad f_i = \phi_i \cdot \mathbf{F}, \quad i \in \langle 1, N \rangle$$

kde bere rovnice pro $10^1 \div 10^2$ nejnižších vlastních frekvencí.

3 Redukce modelů poddajných struktur pro syntézu řízení. Zohlednění vypuštěných stavů soustavy pomocí reziduí.

$$\begin{bmatrix} \dot{\mathbf{x}}_a \\ \dot{\mathbf{x}}_b \end{bmatrix} = \begin{bmatrix} \mathbf{A}_{aa} & \mathbf{A}_{ab} \\ \mathbf{A}_{ba} & \mathbf{A}_{bb} \end{bmatrix} \begin{bmatrix} \mathbf{x}_a \\ \mathbf{x}_b \end{bmatrix} + \begin{bmatrix} \mathbf{B}_a \\ \mathbf{B}_b \end{bmatrix} \mathbf{u} \quad (5)$$

$$\mathbf{y} = \begin{bmatrix} \mathbf{C}_a & \mathbf{C}_b \end{bmatrix} \begin{bmatrix} \mathbf{x}_a \\ \mathbf{x}_b \end{bmatrix} + \mathbf{D}\mathbf{u} \quad (6)$$

3.1 Truncation

Vypouštím stavy \mathbf{x}_b ze systému.

$$\dot{\mathbf{x}}_a = \mathbf{A}_{aa}\mathbf{x}_a + \mathbf{B}_a\mathbf{u} \quad (7)$$

$$\mathbf{y} = \mathbf{C}_a\mathbf{x}_a + \mathbf{D}\mathbf{u} \quad (8)$$

3.2 Singular Perturbation Approximation

Dělám aproximaci $\dot{\mathbf{x}} = \mathbf{0}$

$$\dot{\mathbf{x}}_b = \mathbf{A}_{ba}\mathbf{x}_a + \mathbf{A}_{bb}\mathbf{x}_b + \mathbf{B}_b\mathbf{u} = \mathbf{0} \quad \Rightarrow \quad \mathbf{x}_b = -\mathbf{A}_{bb}^{-1} \mathbf{A}_{ba}\mathbf{x}_a - \mathbf{A}_{bb}^{-1} \mathbf{B}_b\mathbf{u} \quad (9)$$

$$\dot{x}_a = (A_{aa} - A_{ab}A_{bb}^{-1}A_{ba})x_a + (B_a - A_{ab}A_{bb}^{-1}B_b)u \quad (10)$$

$$y = (C_a - C_bA_{bb}^{-1}A_{ba})x_a + (D - C_bA_{bb}^{-1}B_b)u \quad (11)$$

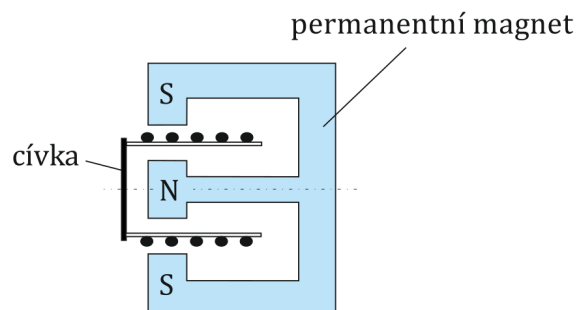
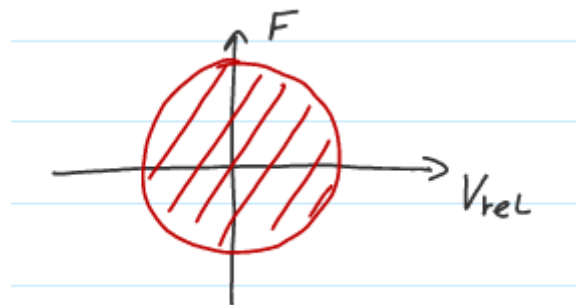
4 Balancovaný tvar stavového popisu soustavy, smysl tohoto tvaru při získání návrhového modelu.

5 Typy aktivních a poloaktivních aktuátorů používaných v mechatronických systémech, hlavní vlastnosti, důsledky pro použití.

5.1 Aktivní aktuátory

Zdroje řízených akčních sil

- piezelektrické materiály
 - piezostack - nižší napětí oproti obyčejným piezo.
 - amplified piezo actuator
- hydraulické aktuátory - nízká šířka pásma řízení síly
- elektromagnetické - voice coil actuator

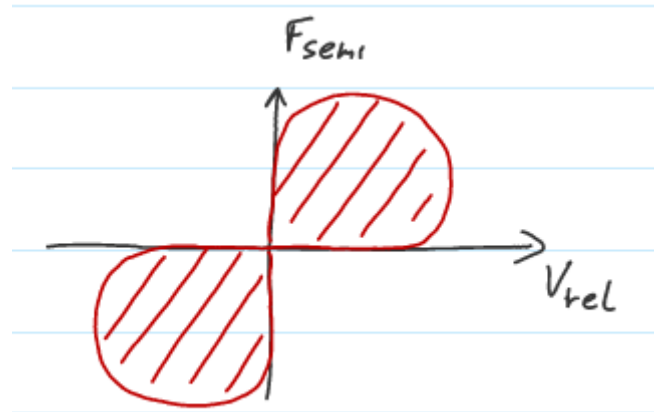


Obrázek 1: Voice coil

5.2 Poloaktivní

Zdroje řízených tlumících sil (řízená disipace energie)

- tlumič s magnetoreologickou kapalinou
- tlumič se škrtícím ventilem



6 Snížování vibrací (low-authority) versus řízení pohybu/polohy (high-authority). Princip, příklady

Rozdělení na LAC a HAC vychází z předpokladu, že síly na řízení pohybu jsou řádově vyšší než síly potřebné ke snížení vibrací. Stejně tak se předpokládá, že HAC reguluje děje s řádově větší časovou konstantou, než LAC (si myslím). To umožňuje použít HAC a LAC společně, jelikož spolu neinterferují.

LAC

- často využívá kolokace aktuátoru a senzoru, pro zvýšení robustnosti a decentralizované přístupy k řízení.
- Positive Position Feedback, Integral Force Feedback

HAC

- Rekonstrukce stavů pomocí stavového pozorovatele
- Computed Torques, LQG (LQR + Kalman filtr)

7 Aktivní absorbce kmitů soustav, příklad návrhu řízení

Využívá se antirezonance tzn. kmitání soustavy, při které je nulá výchylka v místě buzení, zatímco kmitá jiná část soustavy. Pro tento účel se montují na mechanismy “hltiče” vibrací v podobě hmoty spojené se zbytkem soustavy pomocí aktivních prvků.

Výsledkem připojení hltiče je systém ve tvaru

$$\dot{x} = Ax + Bu + B_{\text{akt}}u_{\text{akt}} \quad (12)$$

$$y = Cx \quad (13)$$

Pokud máme přístup ke stavu systému, můžeme zavést lineární zpětnou vazbu

$$u_{\text{akt}} = -Kx \quad (14)$$

s důsledkem na stavový popis

$$\dot{\mathbf{x}} = \underbrace{(\mathbf{A} - \mathbf{B}_h \mathbf{K})}_{\mathbf{A}_{\text{akt}}} \mathbf{x} + \mathbf{B} \mathbf{u} \quad (15)$$

Převodem do frekvenční oblasti získáme systém

$$\mathbf{y}(s) = \mathbf{H}(s) \mathbf{u}, \quad \mathbf{H}(s) = \mathbf{C}(s\mathbf{I} - \mathbf{A}_{\text{akt}})^{-1} \mathbf{B} \quad (16)$$

kde nuly přenosu $\mathbf{H}(s)$ můžeme manipulovat volbou \mathbf{K} .

8 Mechatronická tuhost. Princip, model, příklad návrhu řízení.

Koncept založený na použití pomocné sekundární struktury k navýšení dynamické tuhosti primární struktury a to jejich spojením pomocí aktivního prvku. Podmínka říditelnosti říká, že vlastní frekvence primární a sekundární struktury se musí lišit.

9 Aktivní tlumení vibrací pomocí kolokovaných aktuátorů a senzorů. Příklad s použitím planárních piezo-aktuátorů.

10 Aktivní vibroizolace soustav, integrální silová zpětná vazba, příklad návrhu řízení.

Nahradíme piezostackem s tuhostí k , nastavitelnou volnou délkou $l_0(u) = l_{00} + qu$ a pozitivní, integrální, silovou zpětnou vazbou $u = p \int F dt$, kde p je volitelný parametr.

Pohybová rovnice systému bude nabývat tvar

$$m\ddot{y} = - \underbrace{k(y - z_0(t) - qu)}_F \quad (17)$$

Dosazením z pohybové rovnice můžeme určit tvar akčního zásahu

$$u = p \int F dt = p \int -m\ddot{y} = -pm\dot{y} + C \quad (18)$$

Dosazením tvaru akčního zásahu zpět do pohybové rovnice získáme pohybovou rovnici tlumeného systému

$$m\ddot{y} = -k(y - z_0(t)) - \underbrace{kmpq}_{b_{\text{sky}}} \dot{y} - kqC \quad (19)$$

kde hodnotu b_{sky} můžeme ladit volbou parametru p

11 Říditelnost a pozorovatelnost, Gramián říditelnosti a pozorovatelnosti

Uvažujme lin. systém ve tvaru

$$\begin{aligned} \dot{\mathbf{x}} &= \mathbf{A}\mathbf{x} + \mathbf{B}\mathbf{u} \\ \mathbf{y} &= \mathbf{C}\mathbf{x} + \mathbf{D}\mathbf{u} \end{aligned}$$

Říditelnost

Systém je říditelný pokud jej lze z libovolného stavu $\mathbf{x} \in \mathbb{R}^n$ dostat do stavu nulového $\mathbf{x} = \mathbf{0}$ působením vstupů \mathbf{u} .

Matice říditelnosti

$$\mathbf{C} = \begin{bmatrix} \mathbf{B} & \mathbf{AB} & \mathbf{A}^2\mathbf{B} & \dots & \mathbf{A}^{n-1}\mathbf{B} \end{bmatrix} \quad (20)$$

Pokud \mathbf{C} je plné hodnosti, systém je říditelný.

Gramián říditelnosti

$$\mathbf{W}_c = \int_0^\infty e^{\mathbf{A}\tau} \mathbf{B} \mathbf{B}^T e^{\mathbf{A}^T \tau} d\tau \quad (21)$$

Vlastní vektory \mathbf{W}_c patřící k největším vlastním číslům jsou nejlépe říditelné směry ve stavovém prostoru. Podmíněností \mathbf{W}_c můžeme hodnotit celkovou říditelnost systému (ve všech směrech stavového prostoru).

Pozorovatelnost

Systém je pozorovatelný pokud na konečném časovém intervalu lze ze změřeného průběhu vstupů \mathbf{u} a výstupů \mathbf{y} určit stav systému na počátku intervalu $\mathbf{x}_0 \in \mathbb{R}^n$.

Matice pozorovatelnosti

$$\mathbf{O} = \begin{bmatrix} \mathbf{C} \\ \mathbf{CA} \\ \mathbf{CA}^2 \\ \vdots \\ \mathbf{CA}^{n-1} \end{bmatrix} \quad (22)$$

Pokud \mathbf{O} je plné hodnosti, systém je pozorovatelný.

Gramián pozorovatelnosti

$$\mathbf{W}_o = \int_0^\infty e^{\mathbf{A}\tau} \mathbf{C} \mathbf{C}^T e^{\mathbf{A}^T \tau} d\tau \quad (23)$$

Vlastní vektory \mathbf{W}_o patřící k největším vlastním číslům jsou nejlépe pozorovatelné směry ve stavovém prostoru. Podmíněností \mathbf{W}_o můžeme hodnotit celkovou pozorovatelnost systému (ve všech směrech stavového prostoru).

12 Computed Torques

$$\mathbf{M}(\mathbf{q}) + \mathbf{N}(\mathbf{q}, \dot{\mathbf{q}}) = \boldsymbol{\tau} \quad (24)$$

$$\mathbf{e} = \mathbf{q}_d - \mathbf{q} \quad (25)$$

$$\dot{\mathbf{e}} = \dot{\mathbf{q}}_d - \dot{\mathbf{q}} \quad (26)$$

$$\ddot{\mathbf{e}} = \ddot{\mathbf{q}}_d - \ddot{\mathbf{q}} = \ddot{\mathbf{q}}_d - \mathbf{M}(\mathbf{q})^{-1}\boldsymbol{\tau} + \mathbf{M}(\mathbf{q})^{-1}\mathbf{N}(\mathbf{q}, \dot{\mathbf{q}}) \quad (27)$$

$$\frac{d}{dt} \begin{bmatrix} \mathbf{e} \\ \dot{\mathbf{e}} \end{bmatrix} = \begin{bmatrix} \mathbf{0} & \mathbf{I} \\ \mathbf{0} & \mathbf{0} \end{bmatrix} \begin{bmatrix} \mathbf{e} \\ \dot{\mathbf{e}} \end{bmatrix} + \begin{bmatrix} \mathbf{0} \\ \mathbf{I} \end{bmatrix} \mathbf{u} \quad (28)$$

$$\ddot{\mathbf{e}} = \mathbf{u} \quad (29)$$

$$\mathbf{u} = -k_p \mathbf{e} - k_d \dot{\mathbf{e}} - k_i \boldsymbol{\varepsilon}, \quad \dot{\boldsymbol{\varepsilon}} = \mathbf{e} \quad (30)$$

$$\boldsymbol{\tau} = \mathbf{M}(\mathbf{q})(\ddot{\mathbf{q}}_d + k_p \mathbf{e} + k_d \dot{\mathbf{e}} + k_i \boldsymbol{\varepsilon}) + \mathbf{N}(\mathbf{q}, \dot{\mathbf{q}}) \quad (31)$$

13 Použití optimalizačních metod pro syntézu řízení. Aktivní a poloaktivní aktuátory, lineární a nelineární soustavy (ilustrace na příkladu nelineární soustavy).